

## VPLYV ROZMEROV ROTAČNÉHO ELIPSOIDU NA MERANIE JEHO MAGNETICKÉHO MOMENTU

IVAN ČERVENĚ, Bratislava

Pri meraní magnetického momentu guľových vzoriek indukčnou Weissou-Forerovou metódou platí priama úmernosť medzi magnetickým momentom vzorky a zmenou indukčného toku vyvolanou oddialením vzorky z mernej cievky. V práci sú vyjadrené a tabelované funkcie, ktoré udávajú odchýlky od tohto pravidla pre vzorky s tvarom podlhovastého rotačného elipsoidu. Ukazuje sa, že pre konfokálne vzorky v tej istej polohe sú tieto odchýlky rovnaké.

### ÚVOD

Pri meraní magnetického momentu vzoriek, ktoré majú tvar gule, indukčnou Weissovou-Forerovou [1] metódou, sa stretávame so skutočnosťou, že zmena indukčného toku vyvolaná oddialením vzorky z mernej cievky je priamo úmerná magnetickému momentu vzorky [2]. Môžeme to vyjadriť vzťahom

$$\Delta\Phi/m = \text{konšt.} \quad (1)$$

kde  $\Delta\Phi$  je zmena indukčného toku,  $m$  — magnetický moment vzorky. Treba zdôrazniť, že podiel  $\Delta\Phi/m$  od rozmerov vzorky (t. j. jej polomeru) nezávisí. Ak sa však pri meraní stretáme so vzorkami iného tvaru ako guľového, uvedená priama úmernosť už presne neplatí. Pokiaľ má vzorka tvar elipsoidu, možno ohodnotiť vplyv rozmerov vzorky na odchýlky od vzťahu (1) bez principiálnych ťažkostí. Cieľom tohto príspevku je rozobrať tento vplyv pre vzorky, ktoré majú tvar podlhovastého sféroidu (t. j. podlhovastého rotačného elipsoidu).

Budeme uvažovať kruhový závit s polomerom  $R$ , postavený svojou rovinou kolmo na smer vektora indukcie  $B_0$  pôvodného homogénneho magnetického poľa. Vzorku vložíme do poľa tak, aby jej stred bol totožný so stredom závitu. Ďalej rozoberieme dva prípady, líšiace sa orientáciou vzorky vzhľadom na vektor indukcie  $B_0$ .

I. DLHŠIA OS VZORKY JE ROVNOBEŽNÁ S VEKTOROM  $B_0$ . ČIŽE  
KOLMÁ NA ROVINU ZÁVITU

Pre ohodnotenie merania magnetického momentu indukčnou metódou je dôležité vypočítať indukčný tok cez plochu ohraničenú závitom. Treba pritom vyjadriť magnetické pole v okolí vzorky, na čo sa v tomto prípade najlepšie hodia sféroidálne súradnice [3], ktoré budeme označovať symbolmi  $\xi$ ,  $\eta$ ,  $\psi$ . Medzi kartézskymi a sféroidálnymi súradnicami platia vzťahy

$$x = c\xi\eta, \quad y = c\sqrt{(\xi^2 - 1)(1 - \eta^2)} \cos \psi, \quad z = c\sqrt{(\xi^2 - 1)(1 - \eta^2)} \sin \psi,$$

kde  $c$  je ohnisková vzdialenosť sústavy konfokálnych súradnicových plôch.

Celkom podobným postupom, ako je v [3] použitý pre elipsoid, môžeme riešením Laplaceovej rovnice, ale zapísanej vo sféroidálnych súradniciach, dospieť ku skalárnym magnetickým potenciálom, opisujúcim magnetické pole vo sféroide a jeho okolí. Potenciál pôvodného pola nech je  $\varphi_0 = -H_0 x$ , kde  $H_0$  je jeho intenzita, ako vektor orientovaná v kladnom smere osi  $x$ . Potom pre potenciál vo vzorke dostaneme  $\varphi_1 = -H_0 x/A$ , pričom

$$A = 1 + \frac{\mu - \mu_0}{\mu_0} \xi_0 (\xi_0^2 - 1) \int_{\xi_0}^{\infty} \frac{ds}{s^2(s^2 - 1)},$$

$\mu_0$  je permeabilita prostredia v okolí vzorky,  $\mu$  — permeabilita materiálu vzorky,  $\xi_0 = a/\sqrt{a^2 - b^2}$ ,  $a$  — hlavná,  $b$  — vedľajšia polos sféroidu. Predpokladali sme pritom, že  $b \leq R$ .

Pri takomto označení potenciál mimo vzorky má tvar

$$\varphi_2 = (-H_0 c \xi \eta / A) \left[ 1 + \frac{\mu - \mu_0}{\mu_0} \xi_0 (\xi^2 - 1) \int_{\xi_0}^{\xi} \frac{ds}{s^2(s^2 - 1)} \right].$$

Z uvedených potenciálov môžeme počítať ďalšie dôležité hodnoty:

indukciu pola vo vzorke  $B_1 = \mu B_0 / \mu_0 A$ , (2)

magnetickú polarizáciu vo vzorke  $J = (\mu - \mu_0) B_0 / \mu_0 A$   
a zložky vektora indukcie mimo vzorky. Pre výpočet indukčného toku cez plochu ohraničenú závitom nám stačí zložka  $B_{z\xi}$ :

$$B_{z\xi} = \frac{B_0 \eta}{A} \sqrt{(\xi^2 - 1)(\xi^2 - \eta^2)} \left\{ A + \frac{\mu - \mu_0}{\mu_0} \frac{ab^2}{(a^2 - b^2)^{3/2}} \left[ \frac{\xi}{\xi^2 - 1} + \frac{1}{2} \ln \frac{\xi - 1}{\xi + 1} \right] \right\}. \quad (3)$$

Indukčný tok budeme počítať cez sféroidálnu plochu prechádzajúcu závitom

a konfokálnu so vzorkou. K takejto ploche je  $B_{z\xi}$  zložkou normálovou, ostatné zložky vektora  $B$  sú zložkami tangenciálnymi. Pre indukčný tok potom môžeme písať:

$$\Phi = \iint_0^{12\pi} B_{z\xi} h_2 d\eta h_3 d\psi, \quad (4)$$

kde  $h_2 = c\sqrt{(\xi^2 - \eta^2)(1 - \eta^2)}$  a  $h_3 = c\sqrt{(\xi^2 - 1)(1 - \eta^2)}$  (5)

sú metrické súčinitele sféroidálnych súradníc  $\eta$ , resp.  $\psi$  [3]. Po dosadení príslušných hodnôt zo vzťahov (2), (3) a (5) do integrálu (4), po jeho vyriešení a úprave výsledku dostaneme

$$\Phi = B_0 \pi R^2 + \pi R^2 J \frac{1}{c^3} \left[ \frac{c}{R^2} \sqrt{R^2 + c^2} + \frac{1}{2} \ln \frac{\sqrt{R^2 + c^2} - c}{\sqrt{R^2 + c^2} + c} \right].$$

Ak oddialíme vzorku zo stredu závitú do nekonečna, zmení sa indukčný tok o hodnotu  $\Delta\Phi = \Phi - B_0 \pi R^2$ . Po zavedení označenia  $mc = \frac{4}{3} \pi ab^2 J$  (Coulombov magnetický moment vzorky) a  $\gamma = c/R$  môžeme písať:

$$\Delta\Phi / mc = \frac{3}{4} \frac{1}{R} f(\gamma), \quad \text{kde}$$

$$f(\gamma) = \frac{1}{\gamma^3} [\gamma \sqrt{1 + \gamma^2} + \ln(\sqrt{1 + \gamma^2} - \gamma)]. \quad (6)$$

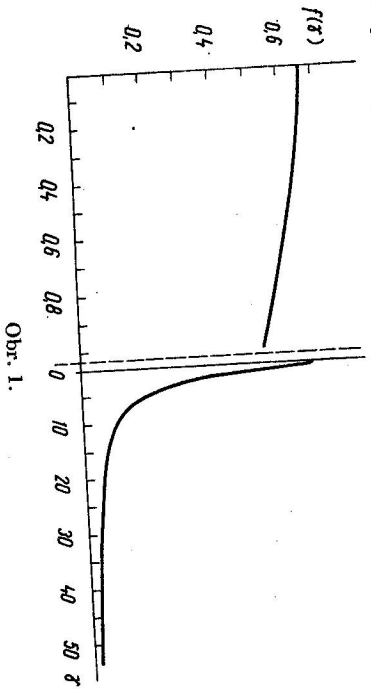
V tomto prípade sa podiel  $\Delta\Phi / mc$  od vzťahu (1) líši funkciou  $f(\gamma)$ . Je zaujímavé, že hodnoty funkcie  $f(\gamma)$  nezávisia priamo od veľkosti polosi vzorky, ale len od jej ohniskovej vzdialenosti  $c$  (resp.  $\gamma = c/R$ ), takže sú pre všetky konfokálne vzorky rovnaké. Niektoré hodnoty funkcie  $f(\gamma)$  sú uvedené v Tab. 1 a jej priebeh je znázornený na obr. 1.

Tabuľka 1

Hodnoty funkcie  $f(\gamma)$

$\gamma$	0	0.05	0.1	0.2	0.5	1.0	2.0
$f(\gamma)$	0.6667	0.6663	0.6647	0.6588	0.6224	0.5328	0.3786
$\gamma$	5	10	20	50	100	500	1000
$f(\gamma)$	0.1855	0.0975	0.0496	0.0199	0.0100	0.0020	0.0010

Vzťah pre zmenu indukčného toku  $\Delta\Phi$  možno napísať aj v takom tvare, aby v ňom namiesto magnetického momentu vystupovala magnetická polarizácia vzorky. Takýto tvar je vhodný najmä pre veľmi dlhé vzorky. Ak zave-



Obr. 1.

dieme ďalšie pomenné hodnoty  $\alpha = a/R$ ,  $\beta = b/R$ , môžeme pre zmenu indukčného toku, ktorá vznikne oddialením vzorky do nekonečna, písať

$$\Delta\Phi = \pi R^2 J \frac{\alpha\beta^2}{\gamma^3} \left[ \sqrt{1 + \gamma^2} + \ln \left( \sqrt{1 + \gamma^2} - \gamma \right) \right],$$

alebo stručnejšie

$$\Delta\Phi = \pi R^2 J \cdot h(\alpha, \beta),$$

kde  $h(\alpha, \beta) = \alpha\beta^2 f(\gamma)$ , a  $\gamma^2 = \alpha^2 - \beta^2$ .

Niektoré hodnoty funkcie  $h(\alpha, \beta)$  sú uvedené v Tab. 2.

Funkcia  $h(\alpha, \beta)$  jednoducho súvisí s demagnetizačným faktorom. Ak uvážime

Tabuľka 2

Hodnoty funkcie  $h(\alpha, \beta)$

$\alpha/\beta$	$\beta$	1.0	0.9	0.7	0.5	0.3	0.2	0.1
1.01		0.6693	0.4885	0.2303	0.0840	0.0182	0.0054	0.00067
1.02		0.6719	0.4909	0.2319	0.0847	0.0183	0.0054	0.00070
1.05		0.6796	0.4981	0.2366	0.0868	0.0188	0.0056	0.00073
1.10		0.6917	0.5096	0.2442	0.0903	0.0197	0.0058	0.00099
1.50		0.7670	0.5814	0.2949	0.1149	0.0261	0.0103	0.00132
2		0.8264	0.6389	0.3393	0.1394	0.0334	0.0103	0.00312
5		0.9442	0.7546	0.4382	0.2064	0.0610	0.0215	0.00534
10		0.9797	0.7898	0.4707	0.2329	0.0770	0.0304	0.00756
20		0.9933	0.8033	0.4835	0.2440	0.0851	0.0360	0.00927
50		0.9986	0.8086	0.4886	0.2487	0.0888	0.0390	0.00975
100		0.9996	0.8096	0.4896	0.2496	0.0896	0.0397	0.00998
500		0.9999	0.8099	0.4899	0.2499	0.0899	0.0399	0.00998

demagnetizačný faktor  $D$  pre podlhovastý rotačný elipsoid zapísaný v sústave SI [4], zistíme, že platí vzťah

$$D = 1 - h(\alpha, 1),$$

kde  $h(\alpha, 1)$  predstavuje funkciu  $h(\alpha, \beta)$  pri  $\beta = b/R = 1$ , čo odpovedá závitu tesne obopínajúcemu vzorku.

## II. DLHŠIA OS VZORKY JE KOLMÁ NA VEKTOR $B_0$ , ČIŽE LEŽÍ V ROVINE ZÁVITU

Kartézsku súradnicovú sústavu zvolíme pri tomto usporiadaní tak, aby os  $x$  splyvala s dlhšou osou sféroиду a os  $y$  mala smer vektora  $B_0$ . Potenciál pôvodného homogénneho poľa nech má tvar  $\varphi_0 = -H_0 y$ . Riešením Laplaceovej rovnice dostaneme potom pre potenciál vo vzorke

$$\varphi_1 = -H_0 y / A', \quad (7)$$

pre potenciál mimo vzorky

$$\varphi_2 = -\frac{H_0 c}{A'} \sqrt{(\xi^2 - 1) \sqrt{1 - \eta^2}} \cos \psi \left[ 1 + \frac{\mu - \mu_0}{\mu_0} \xi_0 (\xi_0^2 - 1) \int_{\xi_0}^{\xi} \frac{ds}{(s^2 - 1)^2} \right], \quad (8)$$

$$\text{pričom } A' = 1 + \frac{\mu - \mu_0}{\mu_0} \xi_0 (\xi_0^2 - 1) \int_{\xi_0}^{\infty} \frac{ds}{(s^2 - 1)^2}.$$

Ostatné symboly majú rovnaký význam ako v časti I. Teraz však platí  $b < a \leq R$ .

Z potenciálov (7) a (8) môžeme vypočítať ďalšie dôležité hodnoty:

$$\text{indukciu vo vzorke } B_1 = \frac{\mu}{\mu_0} \frac{B_0}{A'},$$

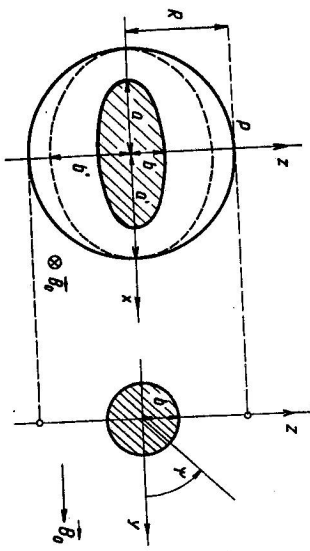
$$\text{magnetickú polarizáciu vo vzorke } J = \frac{\mu - \mu_0}{\mu_0} \frac{B_0}{A'} \quad (9)$$

a zložky indukcie mimo vzorky

$$B_{2y} = -\frac{B_0}{A'} \sin \psi \left[ 1 + \frac{\mu - \mu_0}{\mu_0} \xi_0 (\xi_0^2 - 1) \int_{\xi_0}^{\xi} \frac{ds}{(s^2 - 1)^2} \right], \quad (10)$$

$$B_{2z} = \frac{B_0}{A'} \cos \psi \left[ \sqrt{\frac{1 - \eta^2}{\xi^2 - \eta^2}} \left\{ \xi \left[ 1 + \frac{\mu - \mu_0}{\mu_0} \xi_0 (\xi_0^2 - 1) \int_{\xi_0}^{\xi} \frac{ds}{(s^2 - 1)^2} \right] + \frac{\mu - \mu_0}{\mu_0} \xi_0 (\xi_0^2 - 1) \frac{1}{\xi^2 - 1} \right\} \right]. \quad (11)$$

Výpočet indukčného toku cez plochu ohraničenú závitom si rozdelíme na dve časti (obr. 2). Do prvej časti zahrnieme oblasť ohraničenú elipsou



Obr. 2.

s polosami  $a'$  a  $b'$ , (na obr. 2 vyťahnutá čiarkovane), ktorá je konfokálna so vzorkou. Hlavná polos tejto elipsy sa rovná polomeru závitú  $R$ . Jej rotáciou okolo osi  $x$  vznikne sféroidálna plocha, cez polovicu ktorej budeme počítat prvú časť indukčného toku —  $\Phi_1$ . Tok cez zvyšok plochy kruhu s polomerom  $R$  bude predstavovať druhú časť indukčného toku —  $\Phi_2$ . Pri výpočte  $\Phi_1$  sa uplatní len zložka  $B_{z\xi}$  (11), takže môžeme písať

$$\Phi_1 = 2 \int_0^1 \int_{-\pi/2}^{\pi/2} B_{z\xi} h_2 d\eta h_3 d\psi.$$

Po dosadení metrických súčiniteľov (5), vzťahu (9) a po výpočte integrálu dostaneme:

$$\Phi_1 = B_0 \pi a' b' + \pi a' b' J \frac{ab^2}{c^3} \left[ \frac{c^3}{R(R^2 - c^2)} - \frac{Rc}{2(R^2 - c^2)} - \frac{1}{4} \ln \frac{R-c}{R+c} \right].$$

Pri počítaní  $\Phi_2$  sa výhoda sféroidálnych súradníc stráca. Hodnotu  $\Phi_2$  však možno získať numerickou integráciou

$$\Phi_2 = 4 \int_{\xi_1}^{\xi_2} \int_{\eta_1}^{\eta_2} (-B_{z\eta}) h_1 d\xi h_2 d\eta, \quad (12)$$

kde  $h_1 = c \sqrt{(\xi^2 - \eta^2)/(\xi^2 - 1)}$  je metrický súčiniteľ súradnice  $\xi$ . Pre integráciu ne medze pritom platí:

$$\xi_1 = R/c, \quad \xi_2 = (R^2 + c^2)^{1/2}/c, \quad \eta_1 = 0, \quad (13)$$

$(\eta_2)^2 = (1/2c^2) \{R^2 + c^2 - \sqrt{(R^2 + c^2)^2 - 4c^2\xi[R^2 - c^2(\xi^2 - 1)]}\}$ . Hodnoty  $\xi_1$  a  $\xi_2$  odpovedajú krajným elipsám, po ktorých integrujeme —  $\xi_1$  čiarkovanej elipse,  $\xi_2$  elipse prechádzajúcej bodom  $P$  (obr. 2). Hodnota  $\eta_1 = 0$  predstavuje konfokálnu hyperbolu, prechádzajúcu začiatkom súradnicovej sústavy — teda totožnú s osou  $z$ . Hodnotu  $\eta_2$  získame ako sféroidálnu súradnicu

priesečníka elipsy, po ktorej momentálne integrujeme, a kružnice s polomerom  $R$ , predstavujúcej závit.

Kedže symetria pola v okolí vzorky umožňuje integrovať cez štvrtinu zvyšku plochy kruhu, vystupuje vo vzťahu (12) šesťkrát faktor 4.

Po dosadení  $B_{z\eta}$  (10) (pri hodnote  $\psi = \pi/2$ ) do integrálu (12), môžeme pre  $\Phi_2$  napísať

$$\Phi_2 = B_0 (\pi R^2 - \pi a' b') - 2J \frac{ab^2}{c} \int_0^{\xi_2} \int_0^{\eta_2} \left[ \frac{\xi}{\xi^2 - 1} + \frac{1}{2} \ln \frac{\xi - 1}{\xi + 1} \right] \frac{\xi^2 - \eta^2}{\sqrt{(\xi^2 - 1)(1 - \eta^2)}} d\xi d\eta.$$

Úhnný tok cez plochu ohraničenú závitom potom je  $\Phi = \Phi_1 + \Phi_2$ :

$$\Phi = B_0 \pi R^2 + J \pi R \left[ \frac{ab^2}{c^3} \left[ \frac{c^3}{R(R^2 - c^2)} - \frac{Rc}{2(R^2 - c^2)} - \frac{1}{4} \ln \frac{R-c}{R+c} \right] - 2J \frac{ab^2}{c} \int_0^{\xi_2} \int_0^{\eta_2} \left[ \frac{\xi}{\xi^2 - 1} + \frac{1}{2} \ln \frac{\xi - 1}{\xi + 1} \right] \frac{\xi^2 - \eta^2}{\sqrt{(\xi^2 - 1)(1 - \eta^2)}} d\xi d\eta \right].$$

Ak opäť zaviedeme pomernú hodnotu  $\gamma = c/R$  a použijeme označenie  $\frac{4}{3} \pi a b^2 J = mc$ , môžeme pre zmenu indukčného toku vyvolať oddialením vzorky do nekonečna napísať

$$\Delta\Phi = \frac{3}{4} \frac{1}{mc} \frac{1}{R} \left\{ \frac{1}{\gamma^3} \left[ \frac{\gamma^3}{1 - \gamma^2} - \frac{\gamma}{2(1 - \gamma^2)} - \frac{1}{4} \ln \frac{1 - \gamma}{1 + \gamma} \right] - \frac{2}{\gamma} \frac{1}{\pi} \int_0^{\xi_2} \int_0^{\eta_2} \left[ \frac{\xi}{\xi^2 - 1} + \frac{1}{2} \ln \frac{\xi - 1}{\xi + 1} \right] \frac{\xi^2 - \eta^2}{\sqrt{(\xi^2 - 1)(1 - \eta^2)}} d\xi d\eta \right\}. \quad (14)$$

čo však môžeme napísať aj v tvare

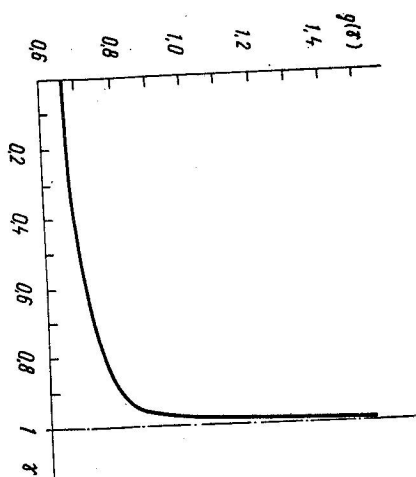
$$\Delta\Phi/mc = \frac{3}{4} \frac{1}{R} g(\gamma).$$

Funkcia  $g(\gamma)$  (t. j. výraz vo veľkej zátvorke vo vzťahu (14)) má teraz rovnaký význam ako v časti I funkcia  $f(\gamma)$ . Ak si všimneme integračné medze (13), zistíme, že funkcia  $g(\gamma)$ , rovnako ako  $f(\gamma)$ , nezávisí priamo od rozmerov vzorky, ale len od jej ohniskovej vzdialenosti  $c$  (resp.  $\gamma = c/R$ ). Hodnoty funkcie  $g(\gamma)$  sú teda opäť pre všetky konfokálne vzorky rovnaké, a niektoré z nich sú uvedené v tab. 3. Priebeh funkcie  $g(\gamma)$  je uvedený na obr. 3.

Tabuľka 3

Hodnoty funkcie  $g(\gamma)$

$\gamma$	0	-0,05	0,1	0,2	0,3	0,4	0,5
$g(\gamma)$	0,66667	0,66689	0,66777	0,6708	0,6761	0,6839	0,6948
$\gamma$	0,7	0,8	0,9	0,95	0,97	0,98	0,99
$g(\gamma)$	0,7296	0,7586	0,8054	0,8609	0,9371	1,0559	1,5075



Obr. 3.

Hodnoty funkcií  $f(\gamma)$ ,  $g(\gamma)$  a  $h(\alpha, \beta)$  sa počítali s min. presnosťou 1/1000 vlastnej hodnoty počítačom Minsk 22 na Katedre matematických strojov Elektrotechnickej fakulty SVŠT v Bratislave.  
Záverom chcem podakovať prom. mat. Guregovej, pracovníčke tejto katedry, za pomoc pri programovaní.

#### LITERATÚRA

- [1] Weiss P., Forrer R., Ann. de Physique 12 (1929), 279.
- [2] Červeň I., Fyz. čas. SAV 19 (1969), 250.
- [3] Stratton J. A., Teorie elmag. pole. SNTL, Praha 1961.
- [4] Brož J. a kol., Základy fyz. měření (I). SPN, Praha 1967.

Katedra fyziky  
Elektrotechnickej fakulty SVŠT,  
Bratislava

Došlo 25. 10. 1969